

СаMg<sub>2</sub>Cl<sub>6</sub>·12H<sub>2</sub>O

1980

10 Б420. Тахигидрит, CaMg<sub>2</sub>Cl<sub>6</sub>·12H<sub>2</sub>O. Clark  
Joan R., Evans Jг. Howard T., Erd Richard C. Tachyhydrite, dimagnesium calcium chloride  
12-hydrate. «Acta crystallogr.», 1980, V36, № 11, 2736—  
2739 (англ.)

Проведено рентгеноструктурное исследование (CaCl<sub>6</sub>)  
[Mg(H<sub>2</sub>O)<sub>6</sub>]<sub>2</sub> (дифрактометр,  $\lambda$ Mo, метод Паттерсона,  
МНК в анизотропном приближении до  $R=0,042$  по  
1394 отражениям). Кристаллы ромбоэдрич.  $a = 10,136$ ,  
 $c = 17,318$  Å,  $Z = 3$ , ф. гр.  $\bar{R}3$ . Атом Са занимает позицию  
(000) и окружен по правильному октаэдру атомами  
Cl, образуя анион [CaCl<sub>6</sub>]<sup>4-</sup>. Расстояние Са—Cl 2,752 Å.  
Атом Mg занимает позицию (00Z) и также окружен  
по октаэдру (молекулами H<sub>2</sub>O), образуя катион [Mg-  
(OH<sub>2</sub>)<sub>6</sub>]<sup>2+</sup>. Расстояния Mg—O практически одинаковы:  
2,059 и 2,062 Å. Октаэдрич. ионы связаны между собой  
Н-связями. Среди Н-связь между H<sub>2</sub>O и Cl — 3,229 Å.  
Б. Б. Рыбаков

Кристал.  
сификац.

2.1981.№10

1980

$\text{CaCr}_2\text{O}_4 - \text{MgO}$   
 (grazob. guasp.)

✓ 93: 159366r The stability of  $\alpha$ - and  $\beta$ -calcium chromite modifications with magnesium oxide addition. Havlica, Jaromir; Figusch, Viliam; Panek, Zdenek (Inst. Inorg. Chem., Slovak Acad. Sci., Bratislava, Czech.). *Silikaty (Prague)* 1980, 24(2), 143-7 (Slo). The effect of gradually adding 0.2-4% MgO to  $\beta$ - $\text{CaCr}_2\text{O}_4$  pellets on the  $\beta$ - $\alpha$   $\text{Ca}_2\text{CrO}_4$  phase transition was investigated. Dilatometric measurements under Ar showed that the temp. of transformation of  $\beta$ - into  $\alpha$ - $\text{CaCr}_2\text{O}_4$  decreased from 1710 to 1470° with increasing MgO content in the  $\beta$ - $\text{CaCr}_2\text{O}_4$ . The solv. of MgO increased with increasing temp. and attained 2.9% at 1600°. A phase diagram for the  $\alpha$ - $\text{CaCr}_2\text{O}_4$ - $\beta$ - $\text{CaCr}_2\text{O}_4$ -MgO system at 1300-2070° was constructed.

J. Malob

C.A. 1980, 93, N16

Ca<sub>3</sub>Si<sub>2</sub>O<sub>6</sub> [Khura y. Megbegela] 1980

Kiseleva T. A. et al.

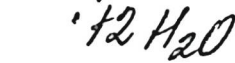
6th Int. Conf. Thermosd.

(CH) Abstracts of Poster Papers.

Mulseburg, GDR, 1980,

P. 154

1980



кристал.  
структур.

10 Б414. Структура тахидрита. Léclaire A., Boitel M. M., Monier J. C. Structure de la tachydrite: «Acta crystallogr.», 1980, V36, № 11, 2734—2735 (франц.; рез. англ.)

Решена (автоматич. дифрактометр.  $\lambda$ Mo, анизотропное приближение,  $R=0,021$  по 930 отражениям, положение водорода определено по дифференциальному синтезу) структура тахидрита  $\text{CaMg}_2\text{Cl}_6 \cdot 12\text{H}_2\text{O}$ . Кристаллы ромбоэдрич.,  $a = 8,215$  Å,  $\alpha = 76,04^\circ$ ,  $\rho(\text{изм.}) = 1,63$ ,  $Z = 1$ , ф. гр.  $R\bar{3}$ . Атомы Ca в структуре окружены 6 атомами Cl, а Mg — 6 молекулами воды, образуя почти правильные октаэдры. Расстояния Ca—Cl 2,7497, Mg—O 2,059, 2,055 Å. Осуществляется H-связь молекул воды с атомом Cl.

И. С. Наумова

2.1981.11.10

$\text{CaMgB}_2\text{O}_5$   
(Nippratobum)

$C_p$   
55 - 300 K

Сенюк u.p. | 1980  
(200xu)

Bull. Chem. Th.

1980, N 23, p. 366

1980



4 E291. Рассеяние фононов в стеклах и сильно разупорядоченных кристаллах. Phonon scattering in glasses and highly disordered crystals. Raychaudhuri A. K., Peech J. M., Pohl R. O. «Phonon Scattering Condens. Matter.», New York—London, 1980, 45—48 (англ.)

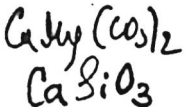
( $C_p$ )

Анализируются данные по температурной зависимости теплопроводности аморфных материалов и сильно разупорядоченных кристаллов при т-рах ниже 1° К. Изменена теплоемкость поликристаллического природного доломита  $\text{CaMg}(\text{CO}_3)_2$ . Все данные хорошо описываются степенной температурной зависимостью с показателем, близким к 2.

Б. С. Оскотский

φ. 1981 № 4

1980



*Равновесия  
(равн.)*

(+) 

7 Б952 Деп. Термодинамические условия реакций силикатообразования из псевдоволластонита и известкового компонента. Садуакасов А. С. Хим.-металлург. ин-т АН КазССР. Караганда, 1979. 32 с., ил., библиогр. 18 назв. (Рукопись депонирована в ВИНИТИ 24 дек. 1980 г., № 5433—80 Деп.)

Выполнен термодинамич. анализ р-ций силикатообразования между псевдоволластонитом (I) и  $\text{CaO}$  (II),  $\text{Ca(OH)}_2$  (III),  $\text{CaCO}_3$  (IV), а также  $\text{CaMg(CO}_3\text{)}_2$  (V). Попутно рассмотрена термич. диссоциация портландита, кальцита, магнезита и доломита. Установлено, что по способности образовывать ранкинит, двух- и трехкальциевые силикаты из стехиометрич. смесей на основе I известковые компоненты располагаются в ряд: II → III → V → IV, в к-ром т-ра начала р-ций увеличивается слева направо. Хим. взаимодействие между I и II энергетически возможно уже при нормальной т-ре. В смеси II —  $\text{CaSiO}_3$  (VI) со стехиометрией двух- и трехкальцие-

X. 1981 г. / 7

вого силикатов наиболее устойчивым является ортосиликат, как в виде монофазы, так и в смеси с любым из исходных компонентов. В смеси I и II с мол. отношением 1:2 высокую стабильность до 1423 К показывает ранкинит; выше этой т-ры устойчивее смесь орто- и метасиликатов. Из смеси I:VI=1:2 образование трехкальциевого силиката невозможно.

Автореферат



*CaMg<sub>2</sub>Si<sub>2</sub>O<sub>8</sub>*

1980

*NaAlSi<sub>2</sub>O<sub>6</sub>*

ЗБ818. Термохимия жадеит—диопсидовых пироксенов. Wood B. J., Holland T. J. B., Newton R. C., Kleppa O. J. Thermochemistry of jadeite-diopside pyroxenes. «Geochim. et cosmochim. acta», 1980, 44, № 9, 1363—1371 (англ.)

Энталпии р-рения семи синтетич. клинопироксенов (К) ряда CaMg<sub>2</sub>Si<sub>2</sub>O<sub>6</sub>—NaAlSi<sub>2</sub>O<sub>6</sub> (диопсид—жадеит), двух природных упорядоченных омфацитов, содержащих Fe, и природного жадеита были измерены в расплаве 2PbO·B<sub>2</sub>O<sub>3</sub> в высокот-рном калориметре при 970 К. Измерена энталпия р-рения природных омфацитов, разупорядоченных при 1350° и 30 кбар. Установлены положит. избыточные энталпии смешения  $\Delta H_{mix}$ , к-рые описываются ур-нием теории регулярных р-ров  $\Delta H_{mix} = W_H \cdot X_D \cdot X_J$ , где  $W_H = 7250 \pm 950$  кал, Д и Ж—диопсид и жадеит. мольные доли. Темплота

*д/расчета.*

(+1)

X. 1981 N 3

разупорядочения омфацитов 1,8 ккал  $\approx \Delta H_{mix}$  разупорядоченного К с соотношением Д:Ж=1:1. Параметр  $W_H \approx \Delta G$  р-ции  $\text{CaMgSi}_2\text{O}_6 + \text{NaAlSi}_2\text{O}_6 = \text{CaAlSi}_2\text{O}_6 + + \text{NaMgSi}_2\text{O}_6$ . Опытные термохим. данные согласуются с  $\Delta G^\circ$  р-ции внутрикрист. обмена катионов по неэквивалентным позициям  $M_1$  и  $M_2$  в кислородном окружении. Расчет по данным Олдриджа дал  $\Delta G = 7200$  кал. Тв. р-р Д—Ж вблизи состава 1:1 в интервале 1000—1500 К является псевдоидеальным. Подобное поведение вероятно и для упорядоченных омфацитов ниже 1000 К, если превращение при 1000 К порядок—беспорядок является фазовым переходом первого рода.

Л. А. Резницкий

1981

# $\text{CaCO}_3 \cdot \text{MgCO}_3$

З Б610. Равновесие и кристаллические структуры в системе  $\text{CaCO}_3$ — $\text{MgCO}_3$ . Араи Ясую, Ясуэ Тамацу. «Сэкко то сэkkai, Sekko to sekai, Gyps and Lime», 1981, № 173, 171—179 (япон.)

Обзор. Рассмотрены исследования равновесной системы  $\text{CaCO}_3$ — $\text{MgCO}_3$  методом фазовых диаграмм, хим. и структурные исследования крист. и аморф. структур двойных солей  $\text{CaCO}_3 \cdot \text{MgCO}_3$  и их тв. р-ров, выполненные за пределами Японии с 1969 г. по настоящее время. Библ. 37.

С. В. Медведев

Кристал.  
структур  
(обзор)

Х. 1982, 19, № 3.

$\text{Ca}_2\text{Al}_5\text{Si}_2\text{O}_7$

Lommel 12132 } 1981

Charles T. V., et al.

$\Delta H_f^\circ, \Delta H_{298.15}^\circ$

$\delta_{\text{facs.}} \text{Pb}_2\text{B}_2\text{O}_5$

Beocchin. et cosmeocchin.  
acta, 1981, 45,  
1609 - 1617.

$\text{CaCO}_3 - \text{MgCO}_3$

1981

(нб. Р-Р)

2 Б990. Квазихимическая модель твердого состояния для объяснения растворимости в твердых растворах  $\text{CaCO}_3 - \text{MgCO}_3$ . Driessens F. C. M., Verbeeck R. M. H. Solid state chemical model for the solubility behaviour of  $\text{CaCO}_3 - \text{MgCO}_3$  solid solutions. «Ber. Bunsenges. phys. Chem.», 1981, 85, № 8, 713—716 (англ.)

Квазихимич.  
модель ,  
растворимо

Особенности р-рения в водн. р-рах тв. фаз в системе  $\text{CaCO}_3 - \text{MgCO}_3$  (1) объяснены на основе квазихим. модели образования тв. р-ров. В (1) установлены фазы: Mg-содержащий кальцит (до 6%  $\text{MgCO}_3$ ), доломит (40—51%  $\text{CaCO}_3$ ) и область несмешиваемости в интервале 20—30 мол.%  $\text{MgCO}_3$ . Приведена зависимость свободной энергии смешения  $G^M$  в (1) от состава  $x$ . Единственный минимум приходится на стехиометрич. доломит при  $x=0,5$ , к-рый менее р-рим, чем компоненты. Наличие точек перегиба на  $G^M = f(x)$  указывает

X. 1982, 19 АБ, №.

на области стабильности тв. фаз в системе.  $G^M =$   
 $= 2,303 RT [(1-x) \lg(1-x) + x \lg x] + x^n (1-x)^n W$ , где  
 $n$  — число ионных пар  $\text{Ca}^{2+}-\text{Mg}^{2+}$ ,  $W$  — параметр  
взаимодействия. Для  $x=0,5$ ,  $G^M = -6,8$  кДж/моль,  
 $W = -10^3$  кДж/моль. Модель субрегулярного тв. р-ра  
описывает поведение тв. фаз при  $n=3$  на одну кри-  
сталлографич. ячейку структуры доломита.

Л. А. Резницкий

редс.  
об

$\text{MgCa}(\text{CO}_3)_2$  1981  
Efferberger H.,  
et al.

Кручинин.  
издание.  
156, № 3-4, 233 - 243.

(см.  $\text{MgCl}_3$  ;  $\frac{T}{\Delta}$ )

# $\text{Ca}_2\text{Al}_2\text{SiO}_7$ — $\text{Ca}_2\text{MgSi}_2\text{O}_7$

1981

4 Б1119. Термохимия синтетических мелилитов  $\text{Ca}_2\text{Al}_2\text{SiO}_7$  (геленит) —  $\text{Ca}_2\text{MgSi}_2\text{O}_7$  (акерманит). Chagu T. V., Newton R. C., Kleppa O. J. Thermochemistry of synthetic  $\text{Ca}_2\text{Al}_2\text{SiO}_7$  (gehlenite) —  $\text{Ca}_2\text{MgSi}_2\text{O}_7$  (äkermanite) melilites. «Geochim. et cosmochim. acta», 1981, 45, № 9, 1609—1617 (англ.)

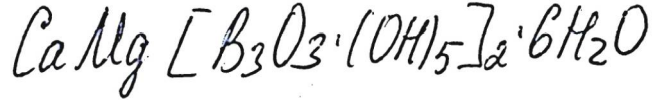
Энталпии р-рения в расплаве  $\text{B}_2\text{O}_3 \cdot 2\text{PbO}$  при 970 К 11 синтетич. мелилитов (M) — непрерывного ряда тв. р-ров  $\text{Ca}_2\text{Al}_2\text{SiO}_7$  (геленит, Г) —  $\text{Ca}_2\text{MgSi}_2\text{O}_7$  (керманит, А) определены в двойном калориметре. Образцы готовили твердофазной р-цией между оксидами и карбонатами и кристаллизацией стекол, сплавленных из тех же исходных материалов. Различия в  $\Delta H_{\text{раств.}}$  образцов, полученных разными методами, не наблюдалось  $\Delta H(f, 970 \text{ K})$  из оксидов составили  $-30,64 \pm 0,31$  ккал/моль для Г и  $-42,92 \pm 0,72$  ккал/моль для А. С использованием лит. данных вычислены  $\Delta H(f, 298) = -951,00$  ккал/моль для Г и  $-924,10$  ккал/моль для А.

ДИПИХ

ж. 1982, 19, 24

А. Полученные значения отличаются на несколько ккал от принятых в геол. лит., однако хорошо согласуются с вычисленными  $\Delta H_f$ , из данных по равновесиям между M и др. минералами. Избыточная  $\Delta H$  (смеш.) =  $5,805X_{\text{Г}} - X_{\text{Л}}^2 + 0,120X_{\text{Л}} \cdot X_{\text{Г}}^2 \pm 0,09$  ккал. Установлены положит. отклонения от идеального поведения, к-рые максимальны в области 50—80 мол.% A. Расчет  $\Delta G$ (смеш.) при 1000 К с учетом  $\Delta S$  (теор., смеш.) приводит к зависимости, совпадающей с теор. для бинарного идеального р-ра. В расчете  $\Delta S$ (смеш.) учтено распределение Mg между неэквивалентными тетраэдрич. позициями в M и  $\Delta S$ (смеш.) Al и Mg.

Л. А. Резницкий



1981

1) 7 Б908. Фазовые превращения и тепловые деформации индерборита. Филатов С. К., Кондратьева В. В. «Химия кислород. соедин. бора 5-е Всес. совещ. Тез. докл.» Рига, 1981, 150

Методом высокот-рной рентгенографии в сочетании с термич. анализом изучено поведение при нагревании природного води. бората — индерборита, CaMg[B<sub>3</sub>O<sub>3</sub>(OH)<sub>5</sub>]<sub>2</sub>·6H<sub>2</sub>O в интервале т-р 18—950°С. При нагревании в воздушной среде со средней скоростью 15°/ч установлено, что структура индерборита устойчива до т-ры 90°С, выше к-рой начинается ее обезвоживание с образованием кристаллогидратов. В интервале т-р 130—785°С в-во находится в аморфном состоянии. При

Tez;

X. 1982, 19, N7.

785° С начинается кристаллизация тетраборатов и дигибборатов кальция и магния. Всё описанные процессы необратимы. На основании дифрактограмм, снятых при температурах 5, 18, 45, 70, 90, 105 и 120° С в интервале 10—70° С уточнено индицирование дебаеграммы индерборита, определены параметры его моноклинной ячейки, коэф. и тензор теплового расширения. Рассмотрена связь теплового расширения индерборита с особенностями его крист. структуры. По резюме

1981

 $\text{Ca}_3\text{Mg}(\text{SiO}_4)_2$ 

1 Б929. Определение теплоты инконгруэнтного плавления мервинита. Kosa Ladislav, Adamkovicová Katalína, Proks Ivo. Determining the heat of incongruent decomposition of merwinite. «Silikáty», 1981, 25, № 3, 199—208 (англ.; рез. словац., рус.)

Энталпия мервинита  $\text{Ca}_3\text{Mg}(\text{SiO}_4)_2$  (I) измерена методом смешения в интервале 1480—1807 К и выражена ур-нием  $H_t - H_{298} = -72,9 + 2,272 \cdot 10^{-1} T + 5,902 \cdot 10^{-5} T^2$  ( $\pm 4,3$  кДж/моль). I плавится инконгруэнтно при 1848 К, распадаясь на  $\alpha\text{-Ca}_2\text{SiO}_4$  и  $\text{MgO}$ . Материальный баланс при плавлении выражается ур-ием I=расплав  $(1,193 \text{ CaO} \cdot 0,697 \text{ MgO} \cdot \text{SiO}_2) + 0,761 \alpha\text{-Ca}_2\text{SiO}_4 + 0,136 \text{ MgO}$ .  $\Delta H$  (пл. I) =  $1,239 (H_t - H_{298})$  расплава +  $0,761 (H_t - H_{298}) \text{ Ca}_2\text{SiO}_4 + 0,136 (H_t - H_{298}) \text{ MgO}$  —  $(H_t - H_{298})$  I, кДж/моль. Измерены  $\Delta H$  раств. I, расплава,  $\gamma\text{-Ca}_2\text{SiO}_4$ ,  $\text{Mg}(\text{OH})_2$  в смеси  $\text{HF} + \text{HNO}_3$  при 298 К. На основании полученных и лит. данных вычислены  $H_t - H_{298}$  фаз, существующих при инконгруэнтном плавлении I. Рекомендована  $\Delta H$  пл. I =  $125 \pm 15$  кДж/моль и  $\Delta S$  пл. =  $67,5 \pm 8,1$  Дж/моль К.

Л. А. Резницкий

 $T_m, \Delta H_m, H_t - H_0$  $\Delta Sm$ 

Х. 1982, 194Б, N/

$\text{Ca}_{1,70} \text{Mg}_{0,30} \text{SiO}_4$

1981

12 Б445. Идентичность, состав и устойчивость бредигита и фазы *T.* Moseley David, Glasser F. P.  
Identity, composition and stability of bredigite and  
phase *T.* «Cem. and Concr Res.», 1981, 11, № 4, 559—  
565 (англ.; рез. кит.)

Рентгенографически (метод порошка) и электроно-  
графически (микродифракция в электронном микроско-  
пе) показано, что минерал бредигид не является хим.  
и структурным аналогом  $\alpha'$ - $\text{Ca}_2\text{SiO}_4$ , как считалось  
ранее, а представляет собой фазу системы  $\text{Ca}_2\text{SiO}_4$ —  
 $\text{Mg}_2\text{SiO}_4$  (1) примерного состава  $\text{Ca}_{1,70}\text{Mg}_{0,30}\text{SiO}_4$  (при  
1300° область гомогенности простирается до состава  
 $\text{Ca}_{1,75}\text{Mg}_{0,25}\text{SiO}_4$ ), идентичную т. н. фазе *T*. Параметры  
ромбич. решетки:  $a$  10,902,  $b$  18,382,  $c$  6,751 А. При-  
ведена фазовая диаграмма системы 1 и значения  $\Gamma$  и  
 $d(hkl)$  рентгенограммы порошка бредигита.

С. В. Соболева

состав и  
устойчивость  
структур

X.1982, L9, N12.

*CaMgB<sub>2</sub>O<sub>5</sub>*

1981

7 Б805. Термодинамические свойства и физико-химические условия образования Курчатовита. Семенов Ю. В., Малико С. В., Ходаковский И. Л. «Химия кислород. соедин. бора. 5-е Всес. совещ. Тез. докл.» Рига, 1981, 126—127

*Cp*

В вакуумном адиабатич. калориметре в интервале т-р 60—300 К измерена теплоемкость курчатовита CaMgB<sub>2</sub>O<sub>5</sub> (I). Экстраполяция к 0 К проводилась с использованием ф-ций Дебая и Эйнштейна по ур-нию  $C_p^{\circ} = D(214/T) + 2E(345,5/T) + 3E(564/T)$ . Значения  $C_p$ ,  $S_{\text{т}}^{\circ}$  и  $H_{\text{т}}^{\circ} - H_0^{\circ}$  табулированы в интервале т-р 5—100 К с шагом 5 К, в интервале 100—290 К — с шагом 10 К. При 298,15 К они составили соотв. 139,1, 127,9 Дж/(моль·К) и 21 850 Дж/моль. Сообщается об определении в высокот-рном калориметре Кальве энталпии образования и высокот-рной теплоемкости I, а также о рассмотрении различных р-ций его образования. Все опыты проводились с природным образцом ромбич. I из месторождения Солонго след. состава  $(\text{Ca}_{0,95}\text{Mn}_{0,05})(\text{Mg}_{0,91}\text{Mn}_{0,06}\text{Fe}_{0,03}^{2+})\text{B}_{2,00}\text{O}_{4,98}(\text{OH})_{0,02}$ .

А. С. Гузей

X.1982, 19, № 7

$\text{Ca}_{10-n} \text{Mg}_n (\text{PO}_4)_6 (\text{OH})_2$

1982

10 В2. Метод получения и свойства магний-апатитов. A method of preparation and characterization of magnesium-apatites. Chiranjeevigaо S. V., Немерле J., Voegel J. C., Frank R. M. «Inorg. chim. acta», 1982, 67, № 6, 183—187 (англ.)

Магнийсодержащие апатиты состава  $\text{Ca}_{10-n} \text{Mg}_n (\text{PO}_4)_6 (\text{OH})_2$ , где  $n=0; 1,9; 4,0; 6,0; 8,2$  и  $\frac{10}{10-(1-n)}$  (соотв.), получены соосаждением при смешивании водн. р-ров смесей  $\text{Ca}(\text{NO}_3)_2$  и  $\text{Mg}(\text{NO}_3)_2$ , содержащих стехиометрич. кол-ва компонентов, и  $\text{NH}_4\text{H}_2\text{PO}_4$ . Величину pH смесей, превышающую 9, поддерживали введением р-ра  $\text{NH}_4\text{OH}$ . В ИК-спектрах I—VI отмечено характеристич. смещение частот  $\nu_3$  и  $\nu_4$  иона  $(\text{PO}_4)^{3-}$  (при 560 и  $1050 \text{ см}^{-1}$  соотв.), свидетельствующее об образовании серии гомог. тв. р-ров. Рентгенофазовый анализ I—VI указывает на линейное уменьшение параметра  $a$  гексагон. решетки оксиапатитов при увеличении содержания  $\text{Mg}^{2+}$  в тв. р-рах (от 9,429 Å

метод  
получения)  
св-ва

X. 1983, 19, N 10

для I до 9,298 Å для VI). Значение параметра  $c$  остается неизменным для всей серии тв. р-ров ( $\sim 6,886$  Å). Электронномикроскопически изучена форма кристаллов I—VI. Сделан вывод, что замещение ионов  $\text{Ca}^{(2+)}$  в решетке I ионами  $\text{Mg}^{(2+)}$  обусловлено близостью ионных радиусов двухвалентных катионов, участвующих в р-ции замещения.

Г. П. Чичерина



Ca-Cu-Mg  
enrich

1982

Lee Jung-Joong.

Diss. Dokt. Naturwiss.

SH<sub>mix</sub>; Fak. Chem. Univ. Stuttgart, 1982. 130 S., ill.

(ver. Al-Ca(enrich); ?)

1982

Mg-Ca  
CMAB

96: 111177q Density functional-pseudopotential calculation of the heat of formation of disordered solid alkaline-earth alloys. Gonzalez, D. J.; Alonso, J. A. (Dep. Fis. Teor., Univ. Valladolid, Valladolid, Spain). *Physica B+C (Amsterdam)* 1982, 112(1), 73-7 (Eng). A d. functional-pseudopotential method was used to calc. the heats of formation of disordered solid alk.-earth alloys as functions of the concn. In modeling the alloy crystal potential, a modified virtual crystal approxn. was used. The influence of the deviations from Vegard's law was studied in the alloy Mg-Ca.

DfMj

C. A. 1982, 96, N/4.

$\text{CaO-MgO-SiO}_2-\text{CO}_2-\text{H}_2\text{O}$

1982

paper  
nearspans

196: 169618a Thermochemical study on phase equilibria in the system calcium oxide-magnesium oxide-silicon dioxide-carbon dioxide-water. Ogasawara, Yoshihide; Uchida, Etsuo; Imai, Naoya. (Sch. Sci. Eng., Waseda Univ., Tokyo, Japan 160). Waseda Daigaku Rikogaku Kenkyusho Hokoku 1982, (98), 1-24 (Eng). Thermochem. calcns. were made for phase equil. among the minerals of calcite, diopside, dolomite, enstatite, forsterite, quartz, talc, and tremolite in the title system. Existing data on the std. enthalpies, entropies, mol. vols., and heat capacities of these minerals and fugacity coeffs. of  $\text{CO}_2$  and  $\text{H}_2\text{O}$  were used for the calcn. and isobaric and isothermal chem. potential and fugacity diagrams and also isobaric  $T$ - $X_{\text{CO}_2}$  diagram with that by Skippen (1974) revealed that the invariant point given by Skippen does not occur on the isobaric  $T$ - $X_{\text{CO}_2}$  diagram for the 5-mineral assemblage (calcite=diopside-dolomite-forsterite-tremolite).

H. Einaga

c.a. 1982, 96, N20

$\text{Ca}_{11}B_2O_5$

1982

Алиев А. В.

9 Все. конф. по калориметрии.

$\Delta H_f$ :

посл. 11 сессии. председатель:  
ПДИУСССР 14-16 сен. 1982.

Рассужд. меж. комиссии ПДИУСССР,  
1982, №.

( $\text{Ca}_2B_2Si_2O_8$ ; I)

$MgCa(CO_3)_2$

1982

У 3 Б837. Термодинамический анализ термической диссоциации доломита. Thermodynamic analysis of the thermal decomposition of dolomite. Spinolo Giorgio, Beruto Dario. «J. Chem. Soc. Faraday Trans.», 1982, Part 1, 78, № 9, 2631—2642 (англ.)

термическая  
диссоциация

Предложена упрощенная термодинамич. модель системы  $CaCO_3—MgCO_3$  (1) для интервала т-р 623—1473 К и  $P(CO_2)=2,5 \cdot 10^3$  Па. Диаграмма состояния (1) — псевдобинарная, два однофазных поля со структурой кальцита на основе  $CaCO_3$  и  $MgCO_3$  и поле доломита

X. 1983, 19, № 3

MgCO<sub>3</sub>·CaCO<sub>3</sub> разделены двумя двухфазными областями. Полная смесимость достигается при  $T = 1500$  К. Выявлено значение образования тв. р-ров  $\text{Ca}_{1-x}\text{Mg}_x\text{CO}_3$  в р-ции распада доломита по разным направлениям  $\text{CaMg}(\text{CO}_3)_2 = \text{CaO} + \text{MgO} + 2\text{CO}_2$ ,  $\text{CaO} + \text{CO}_2 = \text{CaCO}_3$ ,  $\text{CaO} + \text{CaMg}(\text{CO}_3)_2 = 2\text{CaCO}_3 + \text{MgO} + \text{CO}_2$ . Установлена зависимость свободной энергии  $G(T, P)$  для кальцитной и доломитной фаз. На основании вида  $G$  (1) отнесена к ур-нию типа Маргулеса для асимметричных тв. р-ров. Вычислены параметры взаимодействия в тв. р-рах. Расчетные значения  $\lg P(\text{CO}_2)$  для различных р-ций термич. распада доломита представлены графически.

Л. А. Резницкий

CaMgSi<sub>2</sub>O<sub>6</sub>

Om. 16699

1982

Stout N.D., Piwiskii A.Y.,

H<sub>T</sub>-H<sub>298</sub>:

High. Temp. Sci., 1982,

15, NY, 275-292.

Bφ-IX-7502  
Дyд.ицк K/JC

*CaMg(VO<sub>3</sub>)<sub>4</sub>*

*и гр.*

*оценка  
периодич  
веществ*

*1982*

23 Б883. Термодинамическое прогнозирование фазовых равновесий в системе CaO—MgO—V<sub>2</sub>O<sub>5</sub>. Шарова Н. Г. «Химия, технол. и применение ванадиев. соедин. Тез. докл. 4 Всес. совещ., Нижний Тагил, 15—18 июня, 1982. Ч. 2». Свердловск, 1982, 59

Для прогнозирования фазовых равновесий в системе CaO—MgO—V<sub>2</sub>O<sub>5</sub> проведена оценка термодинамич. величин двойных ванадатов CaMg(VO<sub>3</sub>)<sub>4</sub>, CaMgV<sub>2</sub>O<sub>7</sub>, Ca<sub>5</sub>Mg<sub>4</sub>(VO<sub>4</sub>)<sub>6</sub> и Ca<sub>9,5</sub>Mg<sub>3,5</sub>(VO<sub>4</sub>)<sub>6</sub> на основе хим. подобия со сложными силикатами Ca и Mg. Проведен расчет изменения изобарно-изотермич. потенциала для 11 р-ций. Построена диаграмма состояния системы.

Т. И. Таташина

X, 1982, 19, N23

$3\text{CaO}\cdot\text{MgO}\cdot 2\text{SiO}_2$  (мервинит)

1983

) 20 Б965. Фазовые равновесия в системе  $\text{MgO}-\text{CaO}-\text{R}_2\text{O}_3-\text{SiO}_2$ . Phasengleichgewichte im System  $\text{MgO}-\text{CaO}-\text{R}_2\text{O}_3-\text{SiO}_2$ . Kancíř Edmund, Ránek Zdeňek. «Silikattechnik», 1983, 34, № 5, 136—139, 159—160 (нем.; рез. рус., англ.)

С целью поиска новых огнеупорных материалов изучены фазовые равновесия, состав образующихся фаз и их т. пл. в системе  $\text{MgO}-\text{CaO}-\text{R}_2\text{O}_3-\text{SiO}_2$ , где  $\text{R}=\text{Fe}$ ,  $\text{Cr}$ , а также в нек-рых составляющих двойных и тройных системах. Изучены фазовые равновесия в системе  $\text{MgO}-\text{Cr}_2\text{O}_3-3\text{CaO}\cdot\text{MgO}\cdot 2\text{SiO}_2$  [пикохромит: (I) — мервинит (II)] и определены т. пл. I и II, равные  $2330 \pm 15$  и  $1710 \pm 10^\circ\text{C}$  соотв. Определена р-римость I и II в двукальциевом силикате. Приведена диаграмма тройной системы  $\text{MgO}-\text{I}-2\text{CaO}\cdot\text{SiO}_2$  и определены т. пл. и

$T_m$ :

X. 1983, 19, № 20

состав тройной эвтектики:  $1640 \pm 5^\circ\text{C}$  и 78%  $2\text{CaO} \cdot \text{SiO}_2$ , 17% I и 5%  $\text{MgO}$ . Определены фазовые равновесия в системе  $\text{CaO}-\text{MgO}-\text{Cr}_2\text{O}_3$  в регулируемой атмосфере (вакуум, воздух). Приведена фазовая диаграмма системы  $\text{CaCr}_2\text{O}_4-\text{CaFe}_2\text{O}_4$ , в к-рой образуется эвтектика при  $1405 \pm 5^\circ\text{C}$ . Приведена фазовая диаграмма системы  $\text{MgFe}_2\text{O}_4-\text{Mg}_2\text{SiO}_4$ , в к-рой жидк. фаза появляется при  $1665 \pm 10^\circ\text{C}$ .

Л. Г. Титов

$\text{Ca}_3\text{MgSi}_2\text{O}_8$  (мервинит)



$\text{Ca}_2\text{Mg}_5(\text{Si}_4\text{O}_{11})_2(\text{OH})_2$  [DM. 18233] 1983

(именем) Киселева И.А., Огородова  
Н.П.,

Dif;

Геология, 1983, № 12,  
1745—1755.

*MgCaH<sub>3.72</sub>*

1983

5 Б3083. Взаимодействие в системе магний—кальций—алюминий—водород. Семененко К. Н., Вербецкий В. Н., Кулиев С. И., Гасан-заде А. А. «Ж. неорган. химии», 1983, 28, № 11, 2948—2951

Исследовано взаимодействие с водородом сплавов системы магний—кальций—алюминий. Проведен рентгенофазовый анализ исходных образцов и соответствующих гидридных фаз. Обнаружено, что реакция взаимодействия с водородом изученных сплавов протекает с образованием гидрида магния, MgCaH<sub>3.72</sub> и, вероятно, алюминия. Интерметаллическое соединение CaAl<sub>2</sub> при 300°С реагирует с водородом с образованием гидрида кальция и алюминия.

Резюме

X. 1984, 19, N 5

Mg Ca V<sub>2</sub>O<sub>7</sub>

1983

99: 94494h Phase diagram of the magnesium pyrovanadate-calcium pyrovanadate system. Zhuravlev, V. D.; Slobodin, B. V.; Sharova, N. G.; Fotiev, A. A. (Inst. Khim., Sverdlovsk, USSR). *Zh. Neorg. Khim.* 1983, 28(7), 1861-2 (Russ). The phase diagram was constructed from DTA data. A eutectic occurs at 860° and 58 mol % Ca<sub>2</sub>V<sub>2</sub>O<sub>7</sub>. The binary compd. MgCaV<sub>2</sub>O<sub>7</sub> incongruently m. 875° and 55 mol % Ca<sub>2</sub>V<sub>2</sub>O<sub>7</sub>. The replacement of Mg by Ca in Mg<sub>2</sub>V<sub>2</sub>O<sub>7</sub> solid solns. reaches a max. of 10 at.% Ca at 875°.

(Tm)

C.A. 1983, 99, N 12

$\text{Ca}_{0,9576} \text{Mg}_{0,0583} \text{Fe}_{0,7134}^{2+} \text{Fe}_{0,0934}^{3+}$ ) 1984

$\text{Mn}_{0,1366} \text{Si}_2\text{O}_6$

Bennington K.O.,  
Beyer R.P., et al.

Rept Invest. Bur. Mines.

Cp; US Dep. Inter., 1984, N8873,  
19 pp.; ill.

OM 37136 (acc.  $\text{Ca}_2\text{Fe}_2\text{Si}_2\text{O}_6$ ; I.)



1984

*CaCO<sub>3</sub> — MgCO<sub>3</sub>*

17 Б3083. Термодинамический анализ системы CaCO<sub>3</sub>—MgCO<sub>3</sub> на [основе] тетраэдрического приближения метода кластерной вариации. Thermodynamic analysis of the system CaCO<sub>3</sub>—MgCO<sub>3</sub> in the tetrahedron approximation of the Cluster Variation Method. Burton Benjamin. Kikuchi Ryochi. «Amer. Miner.», 1984, 69, № 1—2, 165—175 (англ.)

Предложена термодинамич. модель фазовых равновесий в системе CaCO<sub>3</sub> (I)—MgCO<sub>3</sub> (II), основанная на тетраэдрич. приближении метода конфигурац. вариации для тригонально деформированной вдоль [111] ГЦК решетки типа льда так, что [111] трансформировалась в тригон. [000] $\bar{l}$ . При этом катионное упорядочение (КУ) Ca<sup>2+</sup> и Mg<sup>2+</sup>, присущее доломиту CaMg(CO<sub>3</sub>)<sub>2</sub> (III), к-рый на диаграмме образует область гомогенности между I и II, представлялось как их распределение между чередующимися плоскостями (111) и (000) $\bar{l}$  в рассматриваемой системе и обусловливалось межподрешеточным псевдобинарным взаимодействием,

*Фасуль  
Рынников*

X.1984, 19, N17

характеризующимся энергетич. параметром  $\varepsilon_{1er} < 0$ . Проанализированы внутр. взаимодействия в катионных подрешетках, характеризующиеся параметром  $\varepsilon_{1ra} > 0$  и обусловливающие нарушение КУ и ионное разделение. На примере III проведено сравнение адекватности моделей тетраэдрич. приближения и Брэгга—Вильямса при расчете энергии стабилизации КУ, основанные на эксперим. данных по определению т. крит. разупорядочения. Показано лучшее соответствие 1-й модели с эксперим. результатами, что связано с возможностью учета не только дальнего, но и ближнего КУ. С помощью данной модели установлено, что ближний порядок в расположении катионов сохраняется и при т-рах выше т. крит. Сопоставление эксперим. и расчетных данных показало, что для части диаграммы I-II, соотв. области I-III, наблюдается полуколич. их совпадение. Установлено, что теорет. диаграмма симм. относительно III, когда при расчете учитываются  $\varepsilon_{1er}$  и  $\varepsilon_{1ra}$ . В случае учета и параметра  $R_e = \varepsilon_{1ra}/\varepsilon_{1er}$  она становится несимм. и для части II-III оказывается неадекватной. Для обеспечения адекватности модели во всем диапазоне составов необходимо выбрать иную конфигурац. степень свободы.

Б. Е. Смирнов

$\text{CaF}_2 - \text{MgF}_2$

1984

| 102: 155852c Thermodynamic properties of components of the  
system calcium fluoride-magnesium fluoride. Burylev, B. P.;  
Moisov, L. P.; Kretov, A. I. (Kuban. Gos. Univ., Krasnodar, USSR).  
*Kompleksn. Ispol'z. Miner. Syr'ya* 1984, (10), 18-20 (Russ.).  
An expression was developed for the calcn. of the activities of  
components and thermodn. properties of the system  $\text{CaF}_2-\text{MgF}_2$ .  
The free energy of mixing at 1800-2000 K was derived:  $\Delta G^{\circ}\text{T} =$   
 $-48900 + 73.2 \times T$  (J/mol).

(smixf)

C.A. 1985, 102, N 18.

1984

*MgCa(CO<sub>3</sub>)<sub>2</sub>*

Б3155. Влияние солей фторидов на разложение доломита. Fluoride salt effects on the decomposition of dolomite. Li Mao Qiang, Messing Gary L. «Thermochim. acta», 1984, 78, № 1—3, 9—16 (англ.)

С помощью ДТА, изотермич. ТГА и рентгенографии изучено влияние добавок LiF (I), NaF (II), MgF<sub>2</sub> (III) и CaF<sub>2</sub> (IV) на термич. разл. доломита (V) в токе воздуха. Установлено, что чистый V разлагается по схеме: V → MgO + CaO + 2CO<sub>2</sub>, тогда как в присутствии I—IV разл. V происходит в две стадии: 1) V → MgO + CaCO<sub>3</sub> + CO<sub>2</sub>; 2) CaCO<sub>3</sub> → CaO + CO<sub>2</sub>. Кинетика термич. разл. V описывается ур-ием  $1 - (1 - \alpha)^{1/n} = kt$ , где  $\alpha$  — доля разложившегося V, k — константа скорости, t — время. Рассчитаны константы скорости разл. V без добавок и с добавками I—IV, а также энергии активации. Величины k значительно больше при 635—800° С в присутствии добавок I—II, тогда как III и IV влияют на разл. V только при т-рах выше 800° С. Это различие влияния I—IV на разл. V объяснено более высоким давл. паров I—II (т. пл. 845 и 993° С соотв.) и переносом I и II, а также образованием эвтектик I и II с V и продуктами его разложения. Л. Г. Титов

X. 1985, 19, N6

*Ca - Mg - Si*

1984

Резенькова Г. Н., Шарипов Х. Т., Сиражиддинов Н. А.

Исследование системы ортогерманат кальция — орто-  
силикат магния.

Узб. хим. журн., 1984, № 2, с. 3—6.

Рез. узб.

Библиогр.: 9 назв.

- — 1. Кальций, ортогерманаты — Исследование в системах.  
2. Магний, ортосиликаты — Исследование в системах.

№ 104257  
14 № 6868  
ВКП 21.09.84



УДК 541.123.2

18.5

$\text{CaMg}(\text{Ge}_{0,5}\text{Si}_{0,5})\text{O}_4$

1984

4 Б3097. Исследование синтеза германий-кремниевого монтичеллита. Резенъкова Г. Н., Сирахиддинов Н. А., Рахманбеков Н. «Докл. АН УзССР», 1984, № 7, 37—39

Изучены особенности синтеза  $\text{CaMg}(\text{Ge}_{0,5}\text{Si}_{0,5})\text{O}_4$  (I) со структурой монтичеллита путем р-ции в тв. состоянии, а также определены его физ.-хим. св-ва. Методами РФА, кристаллооптич. и хим. анализов установлено, что для получения однофазного образца германий-магниевого монтичеллита из смеси  $\text{CaO} + \text{MgO} + 0,5\text{GeO}_2 + 0,5\text{SiO}_2$  необходима 8-часовая выдержка при  $1400^\circ$  с промежут. растиранием смеси. Показано, что I имеет инконгруэнтный характер плавления при  $1475^\circ\text{C}$  с разложением на ортосиликат магния и жидкость.

М. И. В.

IX.1985, 19, N 4

CaMgBaD<sub>5</sub>

1984

Слишко И. В.

перевод.

сб. в а,

1f N;

Термодинамика и анализ условий  
образования боросиликатных  
и боратов кальция и вкл-  
ючая в гидрогенических процессах.

Автореферат диссертации  
на соискание учёной степ-  
ени К.Х.Н. Москва, 1984.

$\text{CaMg}(\text{CO}_3)_2$

1984

Семёнов Ю. В.

первоэ. сб-ва,  
ИГИ;

Термодинамический анализ  
условий образования  
боросиликатов и боратов  
кальция и цинка в тепло-  
измененных процессах.

Автореферат диссертации на со-  
искание учёной степени к.х.н.;  
Москва, 1984.

1984

Преследовательность фазовых превращений в смесях  
MgO, CaCO<sub>3</sub> и V<sub>2</sub>O<sub>5</sub> / Н. Г. Шарова, Б. В. Слободин,  
А. А. Фотиев и др.

Журн. неорган. химии, 1984, т. 29, вып. 11,  
с. 2884—2887.

Библиогр.: 11 назв.

— — 1. Кальций, ванадаты — Превращения термические. 2. Магний, ванадаты — Превращения термические. 3. Системы окисные — Термографические исследования.

№ 146612

14 № 10860

ВКП 27.12.84

УДК 536.42 : 546;881.5'46'54-31

18.5

CaMg - фосфаты

1984

7 Б3085. Система CaO—MgO—P<sub>2</sub>O<sub>5</sub> при 1000° С и [содержании] P<sub>2</sub>O<sub>5</sub> < 33 мол.%. The CaO—MgO—P<sub>2</sub>O<sub>5</sub> system at 1000° C for P<sub>2</sub>O<sub>5</sub> < 33.3 mole%. Тегрста R. A., Driessens F. C. M., Verbeeck R. M. H. «Z. anorg. und allg. Chem.», 1984, 515, № 8, 213—224 (англ.; рез. нем.)

С помощью рентгенографии, хим. анализа и спектрометрии изучены фазовый состав в системе CaO (I)—MgO (II)—P<sub>2</sub>O<sub>5</sub> (III) при т-ре 1000° С и содержании III < 33 мол.%. Образцы в системе получены нагреванием 140 смесей CaHPO<sub>4</sub>, CaCO<sub>3</sub>, II и MgHPO<sub>4</sub>·3H<sub>2</sub>O в различных соотношениях в течение длит. времени (до 1000 ч). Представлена часть изотермич. сечения при 1000° С системы I—II—III. Выделены три основные области тв. р-ров: фаза витлокита и тройных соединений на основе пиро- и ортофосфатов. Область тв. р-ров на основе пирофосфатов простирается от 15,9 до 27,5 мол. % II. Установлено, что II не внедряется при нагревании в решетку гидроксиапатита на воздухе и в CO<sub>2</sub>.

X. 1985, 19, N 7

Салгасильс [0м. 21695] 1984  
(документ)

ПлоропН.Д., Сулакский  
р-н, 10. II.,

Челесы жергесе, 1984, 53,  
бюн. 9, 1425—1462.

ДЖ,

La Mo (Sizlo) (Om. 24261)

1985

(quoncay).

Западные Алт.,  
Karaxugze T.P., Murgün B.U.,  
и др.)

Лп;

Сообщен. Академии Наук Узбекской ССР, 1985, № 2, № 2,  
357-360.

$\text{CaMg}(\text{CO}_3)_2$

1985

10 Б3134. Исследование некоторых карбонатных минералов с помощью высокотемпературной рентгенографии. High temperature XRD studies of selected carbonate minerals. Iyengar S. S., Engler P., Santana M. W., Wong E. R. «Adv. X-Ray Anal. Vol. 28: Proc. Denver Conf., July 30—Aug. 3, 1984». New York; London, 1985, 331—338 (англ.)

С помощью высокот-рной рентгенографии изучено термич. разл. доломита (I) и сидерита (II). С помощью ат. эмиссионной спектроскопии установлено, что I соответствует чистому  $\text{CaMg}(\text{CO}_3)_2$ , а II —  $\text{Fe}_{0,7}\text{Mn}_{0,2}\text{Mg}_{0,1}\text{CO}_3$ . Разл. II изучено на воздухе, в азоте, в  $\text{CO}_2$  и при пониженном давл. воздуха ( $\sim 150$  мм Hg). II разлагается при 500—550, 440—480, 480—570 и 440—550° С с образованием  $\text{Fe}_2\text{O}_3$ ,  $\text{FeO}$  и  $\text{Fe}_3\text{O}_4$  (III), III и III с примесью  $\text{FeO}$  соотв. в указанных средах. I в среде  $\text{CO}_2$  разлагается при 530—840° С, на воздухе при 530—890° С. Сделан вывод, что высокот-рная рентгенография м. б. применена для исследования карбонатных минералов.

Л. Г. Титов

Моргилесские  
Рифы

с. 1986, 19, № 10

$\text{CaMg}(\text{CO}_3)_2$

1985

Б2083. Высокотемпературная кристаллохимия доломита  $\text{CaMg}(\text{CO}_3)_2$ . High-temperature crystal chemistry of dolomite  $\text{CaMg}(\text{CO}_3)_2$ . Reeder R. J. «9 Eur. Crystallogr. Meet., Torino, 2—6 Sept., 1985. Abstr. Vol. 2». [Torino], 1985, 455 (англ.)

Определение крист. структуры доломита при т-рах 24, 200, 400 и 600° С позволило выявить характер тепловых колебаний и изменение конфигурации группировок  $\text{CO}_3$  при повышении т-ры. С. В. Соболева

структура

X. 1986, 19, N 2

H<sub>2</sub>O-MgCl<sub>2</sub>-CaCl<sub>2</sub>  
aq [OM. 21347] 1985

Sako T., Makuta T., et al.,

P; Z. Chem. Eng. Data 1985,  
30, 224-228.

MgCa (x)

1985

З И262. Плотности жидких сплавов MgCa, MgSr и MgBa, образующих кластеры. Densities of the cluster-forming liquid alloys MgCa, MgSr and MgBa. Seegveld J., Van Till S., Ai Nguyen, Timmer C., Van Zytveld J. B. «J. Phys. F: Metal Phys.», 1985, 15, № 6, L141—L146 (англ.)

Измерена плотность указанных сплавов в жидким состоянии. Нелинейная зависимость плотности от состава приписывается кластерообразованию. Полученные данные используются для вычисления энталпии в модели, содержащей 1 подгоночный параметр. Обсуждается вопрос о характере связей в указанных в-вах, вычислена степень «ионности» связи. Обсуждается вопрос о степени ассоциации. Библ. 20.

Д. А. Толстунов

плотность

(+2) 18

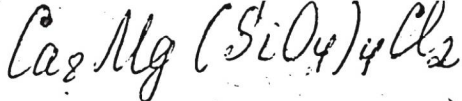
сб. 1986, 18, № 3

Mg Ca SiO<sub>4</sub> LOM-24665 1985

Wright D.P., Navrotsky A.,

Geochim. et Cosmochim.

Acta, 1985, 49, 2385-  
-2393.



1985

24 B14. Синтез нового соединения  $\text{Ca}_8\text{Mg}(\text{SiO}_4)_4\text{Cl}_2$ .  
Ye R., Wang X. «Гуйсуаньянь сюэбао, J. Chin. Silic. Soc.», 1985, 13, № 2, 250—251 (кит.; рез. англ.)

При изучении системы  $\text{CaO}-\text{MgO}-\text{SiO}_2-\text{CaCl}_2$  получено соединение  $\text{Ca}_8\text{Mg}(\text{SiO}_4)_4\text{Cl}_2$ , имеющее т. пл. разл.  $1265^\circ\text{C}$  и устойчивое в обл. т-р от  $810^\circ\text{C}$  до т. пл. Кристаллы относятся к кубич. сингонии (автодифрактометр) с параметром решетки  $a = 15,0653 \text{ \AA}$   $Z=8$ ,  $\rho$  (изм.) 3,08, показатель преломления 1,6910, ф. гр.  $Fd3m$ . Определена крист. структура, приведены значения  $I$ ,  $d$ ,  $hkl$ .

По резюме

X.1985, 19, 124

1386

Горощенко Я. Г., Солиев Л.

Диаграмма состояния системы MgO—CaO—FeO—SiO<sub>2</sub>

Журн. неорганической химии. — 1986. — Т. 31, вып. 6. — С. 1526—1529.

Библиогр.: 6 назв.

— — 1. Системы многокомпонентные, окисные — Диаграммы состояния.

№ 86518

14 № 6308

ВКП 1.08.86

Изд-во «Книга»

УДК 541.123+546.28.41.46.7?

ЕСКЛ 18.5

$\text{Ca}_2\text{MgSi}_2\text{O}_7$  [Om. 29531]

1986

(akemmarit) Hemingway B.S., Evans H.T., H.  
et al.,

G.  
pass. Canad. Mineral., 1986,  
reprint, 24, 425-434.  
nephros.  
G-II

Om. 24854

1986

Calliglyptis Karakaya J.,  
Thompson W.T.,

Skovix; J. Chem. Thermodyn.,  
1986, 18, N9, 859 -  
866.

$(\text{Al}_{1.98}\text{Fe}_{0.01}\text{Mg}_{0.01}\text{Ca}_{0.01})_{2.01}\text{Be}_{0.98}\text{O}_4$  1986

(Afr)

105: 67628r Heat of formation and heat capacity of chrysoberyl.  
Kiseleva, I. A.; Mel'chakova, L. V.; Ogorodova, L. P. (USSR).  
*Vestn. Mosk. Univ., Scr. 2: Khim.* 1986, 27(3), 278-81 (Russ).  
Heats of soln. (in 2PbO.B<sub>2</sub>O<sub>3</sub> melts) were measured by using a  
differential high temp. (1000°) microcalorimeter. The mineral  
compn. was  $(\text{Al}_{1.98}\text{Fe}_{0.01}\text{Mg}_{0.01}\text{Ca}_{0.01})_{2.01}\text{Be}_{0.98}\text{O}_4$ . The enthalpy of  
formation from BeO and Al<sub>2</sub>O<sub>3</sub> at 700° is  $-7.82 \pm 1.96 \text{ kJ/mol}$ . At  
298.15 the heat of formation from the elements is  $-2291.2 \pm 3.7$   
kJ/mol and the free energy of formation is  $-2168.9 \pm 3.7 \text{ kJ/mol}$ .  
Heat capacities are given at 240-800 K:  $C_p = 118.35 + (66.11 \times 10^{-3})$   
 $T - 29.04 \times 10^5 T^{-2} (\text{J mol}^{-1} \text{K}^{-1})$ .

c. A. 1986, 105, N8

$\text{CaMg} \cdot [\text{B}_3\text{O}_4(\text{OH})_3]_2 \cdot 3\text{H}_2\text{O}$  1986

6 E383. Тепловое расширение гидроборацита  $\text{CaMg} \cdot [\text{B}_3\text{O}_4(\text{OH})_3]_2 \cdot 3\text{H}_2\text{O}$ . Кондратьева В. В., Филатов С. К. «Изв. АН СССР. Неорган. материалы», 1986, 22, № 2, 273—276

термовые  
расширения

cf. 1986, 18, N6

*CaMg<sub>3</sub>(CO<sub>3</sub>)<sub>4</sub>*

*1986*

19 Б2051. Уточнение кристаллической структурой  
хантита, CaMg<sub>3</sub>(CO<sub>3</sub>)<sub>4</sub> по рентгенографическим по-  
рошковым данным. Crystal structure refinement of  
huntite, CaMg<sub>3</sub>(CO<sub>3</sub>)<sub>4</sub>, with X-ray powder data. Re-  
eder R. J., Dollase W. A. «Amer. Miner.», 1986, 71,  
№ 1—2, 163—166 (англ.)

Рентгенографически (метод порошка, профильный  
анализ,  $R$  5,3% для 86 отражений) определена струк-  
тура минерала хантита  $\text{CaMg}_3(\text{CO}_3)_4$ . Параметры  
ромбоэдрич. решетки (в гексагон. установке):  $a$  9,5027,  
 $c$  7,8212 Å, ф. гр.  $R$  32. Атомы Mg и Ca упорядоченно  
распределены по положениям с октаэдрич. и триго-  
нально-призматич. координацией, соотв. ( $\text{Mg}$  —  
O 2,031—2,108, Ca — O 2,409 Å). Полиэдры Ca и Mg,  
расположенные на одном уровне по оси  $z$ , объеди-  
няются в слои плоскими треугольными группами  
 $\text{CO}_3$  (C — O 1,270—1,292 Å). Реберный контакт Mg-  
октаэдров из соседних слоев позволяет рассматривать  
всю структуру как полиэдрич. каркас. С. В. Соболева

*X. 1986, 19, N 19*

$\text{CaMg}(\text{CO}_3)_2$

1986

24 Б2087. Высокотемпературная кристаллохимия доломита. High-temperature crystal chemistry of dolomite. Reeder R. J., Markgraf S. A. «Amer. Miner.», 1986, 71, № 5—6, 795—804 (англ.)

Рентгенографически прослежен характер расширения решетки и структуры доломита  $\text{CaMg}(\text{CO}_3)_2$  (I) при 24—700°С и уточнение структуры при 24, 200, 400 и 600°С ( $\lambda$  Mo, анизотропный МНК,  $R$  0,025 для 530 отражений). Параметры ромбоэдрич. решетки (ф. гр.  $R\bar{3}$ ) в гексагон установке: при 24°С  $a$  4,8069,  $c$  16,002, при 700°С  $a$  4,827,  $c$  16,279 Å. Характер расширения решетки I как у магнезита (II) в отличие от  $\text{CaCO}_3$  (III), у к-рого параметр  $a$  с ростом т-ры падает. Коэф. линейного термич. расширения решетки I  $\alpha_a 6,2 \cdot 10^{-6}$ ,  $\alpha_c 25,8 \cdot 10^{-6}$ . Октаэдры  $\text{CaO}_6$  и  $\text{MgO}_6$  в структуре I увеличиваются в объеме при нагревании с большей скоростью, чем в структурах II и III (в I

кристал.  
структуре

X. 1986, 19, n 24

при  $24^{\circ}\text{C}$   $\text{Ca}-\text{O}$  2,3816,  $\text{Mg}-\text{O}$  2,0821, при  $600^{\circ}\text{C}$   $\text{Ca}-\text{O}$  2,4056,  $\text{Mg}-\text{O}$  2,1018 Å). Треугольные группировки  $\text{CO}_3$  без учета поправок на равновесное состояние сжимаются ( $\text{C}-\text{O}$  при  $24^{\circ}\text{C}$  1,2858, при  $600^{\circ}\text{C}$  1,2798), а с учетом этих поправок незначительно расширяются (1,2900 и 1,2930, соотв.). Во всем изученном интервале т-ры не зафиксировано разупорядочение катиона  $\text{Ca}$  и  $\text{Mg}$  по актаэдрич. положениям. С. В. С.

[Om. 29525]

1986

Callg SizD6

Ricket P., Robbie R.A.,  
Hemingway B. J.,

Cp;  
Geochem. et Cosmochim.  
Acta, 1986, 50, 1521-1533.



Смирнова Т.А., Рыбосиня Л.П.;  
XI Всесоюзная конференция  
по радиорадиотрив и ядерно-  
химической периодике,  
Новосибирск, 1986. Тезисы  
докладов, ч. I, 3-4, 74-75.

(OM 29526) 1986

Ca<sub>1.00</sub> Mg<sub>.91</sub> Fe<sub>.09</sub> Mn<sub>.01</sub> Si<sub>0.99</sub> O<sub>3.99</sub>

Sharp Z.D., Essene E.Y.,  
et al.,

Gp;  
Geochem. et Cosmochim.  
Acta, 1986, 50, 1475-1484.

Cucmenia [OM. 29526]

1986

$\text{CaO-NaO-SiO}_2-\text{Cl}_2$  Sharp Z.D.,  
Essene E.J. et al.,  
quartz  
mabrofelsite geochem. et cosmo-  
chim. Acta, 1986, 50,  
1475-1484.

$\text{CaMgSi}_2\text{O}_6$ ,  
diamond

(0m, 42451)

1986

Ziegler D., Navrotsky A.

"Direct measurement of the enthalpy  
of fusion of clinozoisite =

Geodim. Cosmochim. Acta,

1986., v.50, N-; pp. 2461 - 2466

$$\Delta H_m (1665 \text{ K}) = 138.5 \text{ kJ} \cdot \text{mol}^{-1} = 33.1 \text{ kKJ/mol}$$

[86 ZIE/NAV]



в ТКЗ приведено  
Ferriier (1968.)  
 $30.7 \pm 0.8 \text{ kKJ/mol}$

$\text{CaMg}_3(\text{CO}_3)_4$  | 10m. 27397 | 1987

Königsberger E., Faus-  
jäger H.,  
Kp

(Raemboeck Ber.      Sienzenges. Phys.  
1900)      Chem.      1987, 91, N8  
785-790.

$\text{CaMg}_3(\text{CO}_3)_4$

1987

З Б3065. Равновесие раствор—твердое в водных растворах. I. Константа растворимости и свободная энергия образования гунтита. Solid-solute phase equilibria in aqueous solution. I. Solubility constant and free enthalpy of formation of huntite. Königsberger E., Gamsjäger H. «Ber. Bunsenges. phys. chem.», 1987, 91, № 8, 785—790 (англ.)

Растворимость природного минерала гунтита  $\text{CaMg}_3(\text{CO}_3)_4$  (I) изучена потенциометрич. методом при  $50^\circ\text{C}$  при ионной силе  $I=3,0 \text{ Мл}$  ( $\text{NaClO}_4$ ) с целью минимизации изменений коэф. активности. Показано, что р-рение I происходит по р-ции  $\text{Ca}_{0,25}\text{Mg}_{0,75}\text{O}_3$  (s) +  $+2\text{H}^+ = 0,25 \text{Ca}^{2+}$  (sln) +  $0,75 \text{Mg}^{2+}$  (sln) +  $\text{H}_2\text{O} + \text{CO}_2$  (g)

$$K = [\text{Ca}^{2+}]^{0,25} [\text{Mg}^{2+}]^{0,7} P_{\text{CO}_2}, [\text{H}^+]^{-2} = 10,36 \pm 0,03.$$

Из этих данных  $\Delta_f G_{298}(\text{Ca}_{0,25}\text{Mg}_{0,75}\text{CO}_3) = -1045,0 \pm 2,4 \text{ кДж/моль.}$  Значение  $\Delta_f G$  I указывает на термодинамич. нестабильность I по отношению к кальциту, доломиту или магнезиту. Построенная фазовая диаграмма системы  $\text{CaCO}_3-\text{MgCO}_3-\text{H}_2\text{O}$ .

Л. А. Резницкий

Х. 1988, 19, N. 3

$\text{CaMg}_3(\text{nCO}_3)_4$

1987

1987-1988 Solid-solute phase equilibria in aqueous solution.  
I. Solubility constant and free enthalpy of formation of  
~~hunite~~. Koenigsberger, E.; Gamsjaeger, H. (Abt. Phys. Chem.,  
Montanuniv. Leoben, A-8700 Leoben, Austria). *Ber. Bunsen-Ges.*  
Phys. Chem. 1987, 91(8), 785-90 (Eng). Solid binary carbonate  
phases often dissolve congruently in aq. media, even when they are  
not stable under the prevailing conditions. From the thermodyn.  
point of view, these dissoln. reactions lead to a metastable equil. with  
~~fixed compn.~~, when neither diffusion in the solid state nor recrystn.  
from the soln. occurs. The solv. of natural huntite,  $\text{CaMg}_3(\text{nCO}_3)_4$ ,  
was studied potentiometrically at 50 and ionic strength 3.0 mol/kg  
 $\text{NaClO}_4$ . Since it dissolved congruently, the solv. const. was used to  
calc. its std. free energy  $\Delta G_{298}^{\circ} = -1045.0 \pm 2.4 \text{ kJ/mol}$ ; huntite is  
~~consequently~~ less stable ~~than~~ the corresponding mech. mixts. of  
calcite or dolomite and magnesite, resp. Stable and metastable equil.  
in carbonate systems can be presented graphically by phase diagrams  
with solv. consts. and mol-fractions as variables.

5/6/98

E.A. 1987, 107, N20

*CaMgSi<sub>2</sub>O<sub>6</sub>*, Вср-Σ-19003 1987

21 Б3018. Теплоемкость и кинетические параметры в области стеклования в стеклах диопсида, анортита и альбита. Heat capacity and kinetic parameters in the glass transformation interval of diopside, anorthite and albite glass. Martens R. M., Rosenhauer M., Büttner H., Von Gehlen K. «Chem. Geol.», 1987, 62, № 1—2, 49—70 (англ.)

Г;  
Теплоемкость  $C_p$  стекол, имеющих состав диопсида  $\text{CaMgSi}_2\text{O}_6$  (I), анортита  $\text{CaAl}_2\text{Si}_2\text{O}_8$  (II) и альбита  $\text{NaAlSi}_3\text{O}_8$  (III) измерена в микрокалориметре Кальвейтипа НТ 1000 в сканирующем режиме в интервале 450—800° С при скоростях нагревания — охлаждения от 2 до 18 К/ч. Исследование проведено с целью изучения термодинамич. и кинетич. характеристик процесса отжига при т-рах выше и ниже т-ры стеклования  $T_g$ . I, II и III готовились в виде слитков весом 1 кг путем охлаждения расплава со скоростью 50—100 К/ч. Образцы охарактеризованы методами оптич. и просвечивающей электронной микроскопии, хим. и рентгено-флуоресцентного анализа. Для измерений  $C_p$  применя-

X. 1987, 19, № 21  
R(42)

лись стеклянные цилиндры, вырезанные из основной були переохлажденного расплава.  $C_p$  в области  $T_g$  обнаруживает аномалию, т-ра максимума  $C_p$  смещается в сторону высоких т-р с увеличением скорости нагревания. Эндотермич. эффект в области  $T_g$  связан с превращением переохлажденной жидкости в стекло. Энергии активации процесса стеклования  $E$  (кДж/моль) вычислены по аррениусовской кинетике и составляют для I 1047, для II 1070 и для III 576, что согласуется с  $E_{акт}$  из измерений вязкости. Кинетич. параметры превращения противоречат модели квазикристаллич. строения исследованных стекол.

Л. А. Резницкий

р-ц  
стом

*CaMgSi<sub>2</sub>O<sub>6</sub>* Phys. and Chem. glasses, 1987, 1987

6033. Low temperature heat capacity of diopside glass ( $\text{CaMgSi}_2\text{O}_6$ ): a calorimetric test of the configurational entropy theory applied to the viscosity of liquid silicates. P. Richet, R. A. Robie & B. S. Hemingway (*Geochim. cosmochim. Acta*, 1986, 50 (7), 1521-33). Heat capacity measurements have been made between 8 and 370 K on an annealed and a rapidly quenched diopside glass. Between 15

and 200 K,  $C_p$  does not depend significantly on the thermal history of the glass. Below 15 K  $C_p$  is larger for the quenched than for the annealed specimen. The opposite is true above 200 K as a result of what is interpreted as a secondary relaxation around room temperature. The magnitude of these effects, however, is small enough that the relative entropies  $S(298)-S(0)$  of the glasses differ by only 0.5 J/mole K, i.e. a figure within the combined experimental uncertainties. The insensitivity of relative entropies to thermal history supports the assumption that the configurational heat capacity of the liquid may be taken as the heat capacity difference between the liquid and the glass ( $\Delta C_p$ ). Furthermore, this insensitivity allows calculation of the residual entropies at 0 K of diopside glasses as a function of the fictive temperature from the entropy of fusion of diopside and the heat capacities of the crystalline, glassy and liquid

*C<sub>p</sub>*:

28, N<sup>o</sup> 6, 117

phases. For a glass with a fictive temperature of 1005 K, for example, this calorimetric residual entropy is  $24.3 \pm 3$  J/mole K, in agreement with the prediction made by Richet from an analysis of the viscosity data with the configurational entropy theory of relaxation processes of Adam & Gibbs. In turn, all the viscosity measurements for liquid diopside, which span the range  $0.5\text{--}4 \times 10^{13}$  poise, can be quantitatively reproduced through this theory with the calorimetrically determined entropies and  $\Delta C_p$  data. Finally, the unclear significance of 'activation energies' for structural interpretations of viscosity data is emphasised, and the importance of  $\Delta C_p$  and glass transition temperature systematics for determining the composition and temperature dependences of the viscosity is pointed out.

$\text{CaMg}[\text{B}_3\text{O}_3(\text{OH})_5]_2 \cdot \text{H}_2\text{O}$   
(OM 30675)

1988

110: 64694b Thermodynamic properties of hydroboracite,  
 $\text{CaMg}[\text{B}_3\text{O}_3(\text{OH})_5]_2 \cdot \text{H}_2\text{O}$ . Gurevich, V. M.; Gorbunov, V. E.;  
Aksanova, T. D.; Gavrichev, K. S.; Khodakovskii, I. L. (Inst. Geokhim. Anal. Khim. im. Vernadskogo, Moscow, USSR). *Zh. Fiz. Khim.* 1988, 62(11), 3110-13. (Russ.). Low-temp. heat capacity of hydroboracite was detd. exptl. Coeffs. of the correlation equation are tabulated. Std. entropy and enthalpy values were derived.

$C_p$

C.A. 1989, 110, N 8

CaMg[B<sub>3</sub>O<sub>3</sub>(OH)<sub>5</sub>]<sub>2</sub>·H<sub>2</sub>O (0730675) / 1988

6 Б3007. Термодинамические свойства гидробората CaMg[B<sub>3</sub>O<sub>3</sub>(OH)<sub>5</sub>]<sub>2</sub>·H<sub>2</sub>O / Гуревич В. М., Горбунов В. Е., Аксенова Т. Д., Гавричев К. С., Ходаковский И. Л. // Ж. физ. химии.— 1988.— 62, № 11.— С. 3110—3113.— Рус.

В низкот-рном калориметре измерена  $C_p$  гидробората CaMg[B<sub>3</sub>O<sub>3</sub>(OH)<sub>5</sub>]<sub>2</sub>·H<sub>2</sub>O в интервале т-р 12,93—300 К. Приведены значения сглаженных значений  $C_p$  и рассчитанных значений  $S^\circ(T)$  и  $H^\circ(T) - H^\circ(0)$ . Станд. значения  $C_p^\circ(298,15) = 452,03 \pm 0,73$  Дж/моль·К,  $S^\circ(298,15) = 382,68 \pm 0,44$  Дж/моль·К и  $H^\circ(298,15) - H^\circ(0) = 65,993 \pm 0,037$  кДж/моль.

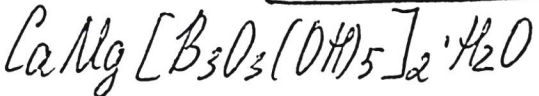
А. Л. М.

Г, II-II, 3

д. 1989, № 6

OM· 30675

1988



Гурьевская М., Горбунова В.Е.  
и др.,

(п)

ж. физ. химии, 1988,  
62, N 11, 3110 - 3113



1988

(quoncig) Саруханов А.Б.,  
Мирзагеев Б.Х. и др.  
Узб. АН СССР, Сер. хим.,  
1988, 14, № 1, 42-47.





1988

(окреїдакум) Саркхайбулла

A.B., Ilvegeen B.I.O.

Узб. АН ТССР. Леп. "gp.  
1988, 14, №1, 42-47.

(cel.  $2\text{MgO} \cdot \text{SiO}_2$  (гопрієдак))

$\text{CaMg}(\text{CO}_3)_2$

1988

Д 5 Б3105. Разложение доломита, индуцированное термически и пучком электронов; сравнение данных полигорячего анализа, рентгенографии и просвечивающей электронной микроскопии. Thermally induced and electron-induced decomposition of dolomite: a comparison of polythermal x-ray diffraction and transmission electron microscopy studies / Spino-  
lo G., Tamburini U. Anselmi // High Temp. — High Pres-  
sures.— 1988.— 20, № 1.— С. 109—112.— Англ.

терм. разл.  
исследование

Методами рентгенографии и просвечивающей электронной микроскопии изучено термич. разл. доломита (I) при т-рах до  $600^\circ\text{C}$  и давл. ниже  $10^{-1}$  Па. Показано, что начальным продуктом разл. I является тв. р-р  $\text{CaO}-\text{MgO}$  со структурой каменной соли. В дальнейшем тв. р-р разлагается с образованием фаз, богатых оксидами Mg и Ca.

Л. Г. Титов

X. 1989, N 5

$\text{Ca}_{70} \text{Mg}_{30}$

1989

Кобальтеско H. F., краснавец?  
H. F. и gp.

Gp;

Распечатка. 1989. N 3. C.  
46-51.

( $\text{Ca}_{70} \text{Mg}_{30} \text{Zn}_{30}$ ; ?)

*Ca<sub>2</sub>MgSi<sub>2</sub>O<sub>7</sub>*

*1989*

8 E731. Идентификация перехода несоразмерной фазы в соразмерную в акерманите Ca<sub>2</sub>MgSi<sub>2</sub>O<sub>7</sub> по особенностям спектра ЯМР высокого разрешения. The incommensurate-commensurate phase transition in akermanite, Ca<sub>2</sub>MgSi<sub>2</sub>O<sub>7</sub>, observed by in-situ <sup>29</sup>Si MAS NMR spectroscopy / Mergwin L. H., Sebald A., Seifert F. // Phys. and Chem. Miner.— 1989.— 16, № 8.— С. 752—756.— Англ.

*T<sub>t2</sub>*

В образцах синтетич. поликристаллич. акерманита Ca<sub>2</sub>MgSi<sub>2</sub>O<sub>7</sub> исследован спектр ЯМР высокого разрешения <sup>29</sup>Si (с использованием метода импульсного ЯМР на частоте 59,63 МГц при вращении образца под магнитным углом с частотой 3,5÷4 кГц и многократном накоплении сигнала). В области низкотемпературной несоразмерной фазы обнаружено расщепление сигнала <sup>29</sup>Si на 3 (или больше) компоненты, которые с повышением температуры сближаются и сливаются в одну линию,



*96.1990, N8*

характерную для высокотемпературной структуры типа шеелита. Результаты указывают на появление неэквив. позиций Si в несоразмерной фазе. Определена т-ра фазового перехода, составляющая 371 К, и обсуждается вероятная кристаллохимич. трактовка механизма перехода, в основе которой лежат повороты и наклоны групп  $\text{Si}_2\text{O}_7$ .

А. Отко

Мg<sub>2</sub>Ca

1989

6 Б3048. Термодинамика образования интерметаллических соединений в системах магний—кальций (стронций, барий) / Пягай И. Н., Жихарева О. В. // 5 Всес. конф. по кристаллохимии интерметалл. соед.: Тез. докл., Львов, 17—19 окт., 1989.— Львов, 1989.— С. 234.— Рис.

Методом калориметрии при растворении в HCl-к-те определены энталпии образования интерметаллидов в системах Mg—M (M — щел.-зем. металл). Значения  $-\Delta_fH^\circ_{298}$  ( $\pm 0,02$  ккал/моль) составили соотв.: Mg<sub>2</sub>Ca 20,144; Mg<sub>2</sub>Sr 86,604; Mg<sub>23</sub>Sr<sub>6</sub> 146,59; Mg<sub>38</sub>Sr<sub>9</sub> 152,954; Mg<sub>17</sub>Sr<sub>2</sub> 237,937; Mg<sub>2</sub>Ba 105,572; Mg<sub>23</sub>Ba<sub>6</sub> 97,572; Mg<sub>17</sub>Ba<sub>2</sub> 298,162. Из резюме

ДНГ;  
(+2)

(X)

1) Mg<sub>2</sub>Sr, и гр

2) Mg<sub>2</sub>Ba и гр.

ж. 1990, № 6

$\text{CaMgSi}_2\text{O}_6$  1989

Sacena S.R.,  
Zhang J.

CP: J. Phys. and Chem.  
Solids. 1989. 50, N°. C.  
723-727.

(cell.  olgo; I)

[Om. 31670]

1989

CaMgSiO<sub>4</sub>  
(guenauig) Navrotsky A., Ziegler D,  
et al.,

H-Ho, Contr. Miner. Petrol.  
1989, 101, N 1, 122-130.

$\text{CaMgSi}_2\text{O}_6$  1990

Navrotsky Alexandra,  
 $(T_m$  Thermochem. Acta  
 $\Delta H_f)$  1990, 163, 13-24.

(crys.  $\text{MgSiO}_3$ ; I)

Mg<sub>2</sub>Ca

(On 34780)

1990

5 Б3028. Термодинамические характеристики образования интерметаллических соединений в системах магний—кальций (стронций, барий) / Пягай И. Н., Вахобов А. В. // Ж. физ. химии.—1990.— 64, № 10.— С. 2788—2789.— Рус.

В калориметре с изотермич. оболочкой определены станд. энталпии образования — $\Delta_f H^\circ$  интерметаллич. соединений  $Mg_2Ca$ ,  $Mg_2Sr$ ,  $Mg_2Ba$ ,  $Mg_{23}Sr_6$ ,  $Mg_{36}Sr_9$ ,  $Mg_{17}Sr_2$ ,  $Mg_{17}Ba_2$  и  $Mg_{23}Ba_6$ , равные соотв. 20,974; 35,986; 44,183; 67,396; 63,911; 99,530, 124,729 и 40,769 кДж/моль. Показано, что от Ca к Ba величина хим. взаимодействия с Mg возрастает, что объясняется особенностями электронного строения атомов щел.-зем. металла.

А. Л. М.

(+2)

X · 1991, N 5

LaMg<sub>x</sub>

On 34780

1990

114: 50694x Heats of formation of intermetallic compounds in the systems magnesium-calcium (strontium, barium). Pyagai, I. N.; Vakhobel, A. V. (Inst. Khim. im. Nikitina, Dushanbe, USSR). *Zh. Fiz. Khim.* 1990, 64(10), 2788-9 (Russ). The heats of soln. of a series of alk. earth intermetallic compds. with Mg were detd. calorimetrically, by using 1 N soln. of HCl as solvent. The std. heats of formation were derived.

Shf

(72) 12

LiMg<sub>x</sub>, BaMg<sub>x</sub>

c.A. 1991, 114, n6

$\text{Ca}_{0.7} \text{Mg}_{0.3}$  1991  
Qi D.W., Gryko J.  
et al.

Cp; J. Non-Cryst. Solids.  
1991. 127, N3. C. 306-311.

(cell.  $\text{Al}_{(71\%)} ; \text{?})$

$\text{CaMgSi}_2\text{O}_6$   
Dunicon

[Om. 42450]

[1991]

Lange R.A., Yoreo J.J., Navratlsky A.

"Scanning calorimetric measurement of heat  
capacity during incongruent melting of diopside."

Amer. Mineralogist, 1991, v. 76, pp. 904-912

$$\Delta H_m(\text{sym } 1665 \text{ K}) = 137.4 \times Dm/\text{mol} = 32.9 \text{ kJ/mol}$$

[91 LAN/YOR]



( $\text{CaTBS symmetro}$   
 $30.7 \pm 0.8 \text{ kJ/mol}$ )

$\text{CaCO}_3 \cdot \text{MgCO}_3$ .

1992

- ▷ 19 Б3038. Различия в энталпиях диссоциации доломита-анкерита в разных атмосферах. Difference in enthalpies of decomposition of dolomite—ankerites in variable atmospheres /Dubrawski J. V. //Thermochim. acta .—1992 .—198 , № 1 .—с. 129—132 .—Англ.

ΔH

Энталпии диссоциации  $\Delta H$  минералов группы доломита-анкерита  $\text{Ca/Mg}_{x}\text{Fe}_{1-x}) (\text{CO}_3)_2$  в  $\text{CO}_2$ ,  $\text{N}_2$  и  $\text{O}_2$  с различным содержанием  $\text{CaCO}_3$ ,  $\text{FeO}$ ,  $\text{MnO}$  и  $\text{MgO}$  определены методом ДСК. В продуктах диссоциации обнаружены  $\text{MgFe}_2\text{O}_4$ ,  $\text{Ca}_2\text{Fe}_2\text{O}_5$ . С увеличением содержания Fe выше 0,2 М при содержании Mn  $\sim 0,02$ — $0,03$  моля  $\Delta H$  в  $\text{CO}_2$  более отрицательны, чем  $\Delta H$  в  $\text{N}_2$ , а для составов с низким содержанием Mn и Fe энталпии диссоциации не зависят от состава газ. атмосферы. Разложение карбонатов в  $\text{O}_2$  приводит к окислению  $\text{FeO}$  до  $\text{Fe}_2\text{O}_3$  с заметным экзоэффектом. Л. А. Резницкий

X. 1993, N 19

literatura

1992

CaO - MgO

116: 159981f A reassessment of the calcia-magnesia system.  
Jin, Zhanpeng; Du, Yong (Dep. Mater. Sci. Eng., Cent. South Univ. Technol., Changsha, Peop. Rep. China 410083). CALPHAD: Comput. Coupling Phase Diagrams Thermochem. 1992, 16(1), 33-6 (Eng). The CaO-MgO system was reevaluated by using a two-sublattice model for the ionic liq. phase and a subregular soln. one for the solid soln. by considering almost all of the measured phase diagram data. A set of parameters describing the system is presented, and a comparison with the exptl. data is shown. It is demonstrated that some improvements have been made compared with previous assessments.

C.A. 1992, 116, N 16

$\text{CaMg}(\text{CO}_3)_2$

1993

17 Б3054. Термическое разложение доломита  
(карбоната кальция и магния), исследованное методом  
твердотельного ядерного магнитного резонанса  $^{25}\text{Mg}$ .  
Thermal decomposition of dolomite (calcium magnesium car-  
bonate) studied by  $^{25}\text{Mg}$  solid-state nuclear magnetic reso-  
nance /MacKenzie K. J. D., Meinhold R. H. //Thermochim.  
acta .— 1993 .— 230 .— С. 331—337 .— Англ.

Методами ЯМР  $^{25}\text{Mg}$  с вращением подмагнит. углом и  
дифракции рентгеновских лучей исследовано тер-  
мич. разложение доломита при его нагреве до т-ры  
 $1200^\circ\text{C}$ . Разложение доломита начинается при т-рах выше  
 $600^\circ\text{C}$ , причем  $\text{MgO}$  обнаруживается методом ЯМР  $^{25}\text{Mg}$ ,  
задолго до того, как он м. б. обнаружен методом дифрак-  
ции рентгеновских лучей. Также показано, что в данных  
эксперим. условиях разложение доломита происходит  
без образования промежуточного соединения  $\text{MgCO}_3$ .

В. Ф. Байбуз

X. 1994, N/7.

Ca<sub>6</sub>fd Ba Mg ZrO<sub>x</sub> (Om. 40586) 1993

Мусеев Р.В., Ташинкиев А.С.

лп, 5-300K, Неопаковые магниты  
3298 1993, 29, №2, 253-257

$\text{CaMgV}_2\text{O}_7$

1995

1) 452059. Кристаллические структуры двойных пиро-  
ванадатов  $\text{CaMgV}_2\text{O}_7$  и  $\text{CaCoV}_2\text{O}_7$  /Мурашова Е. В., Вели-  
кодный Ю. А., Журавлев В. Д. //Ж. неорган. химии  
— 1993 . — 38 , № 9 . — С. 1453—1454 . — Рис.

Синтезированы двойные пиро-ванадаты  $\text{CaMgV}_2\text{O}_7$  и  
 $\text{CaCoV}_2\text{O}_7$  и определены их крист. структуры. Параметры  
монокл. ячеек:  $a$  6.756; 6.769;  $b$  14.495; 14.472;  $c$  11.253;  
11.225 Å;  $\beta$  99.12; 99.52° соотв., гр.  $P2_1/c$ ;  $Z$  8. Изученные  
соед. вместе с  $\text{SrMgV}_2\text{O}_7$ ,  $\text{PbMgV}_2\text{O}_7$  и  $\text{PbZnV}_2\text{O}_7$  входят  
в одно структурное семейство.

Кристал-  
структур

(+)



Х. 1994, № 4

$\text{LaCl}_3 - \text{MgCl}_2$

1993

120: 201695a RECl<sub>3</sub>-calcium chloride-magnesium chloride ternary phase diagrams (RE: lanthanum, cerium, praseodymium, neodymium). Qiao, Zhiyu; Xing, Xianran; Zheng, Chaogui; Duan, Shuzhen (Univ. Sci. Technol. Beijing, Beijing, Peop. Rep. China 100083). *Trans. Nonferrous Met. Soc. China* 1993, 3(2), 27-31 (Eng). Nine sub-binary phase diagrams of the RECl<sub>3</sub>-CaCl<sub>2</sub>, RECl<sub>3</sub>-MgCl<sub>2</sub> and CaCl<sub>2</sub>-MgCl<sub>2</sub> systems, and thermodyn. data for these systems are critically assessed and optimized. Using Hillert model and taking MgCl<sub>2</sub> as an asym. component, the ternary phase diagrams of the RECl<sub>3</sub>-CaCl<sub>2</sub>-MgCl<sub>2</sub> systems are predicted. As well, the detn. of asym. component in the asym. model is investigated.

phas. qualf,  
mehrere  
Gittere



c.A. 1994, 120, N16



P37  $\text{Pb}_3 - \text{LaCl}_3$

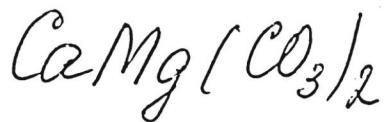
P37 - La, Ce, Pr, Nd

*ZrO<sub>2</sub>-CaO-MgO*

*1993*

120: 145614j The phase diagrams and thermodynamics of the zirconia-calcia-magnesia and magnesia-calcia systems. Y. n. Y.; Argent, B. B. (Dep. Eng. Mater., Univ. Sheffield, Sheffield, UK S1 4DU). *J. Phase Equil.* 1993, 14(5), 588-600 (Eng). The phase diagram of the ZrO<sub>2</sub>-CaO-MgO system was studied both exptl and computationally. By using the newly developed isoplethal map method, the partial isotherms of the system at 1523, 1573, 1663, and 1773 K were ded. with better accuracy than reported in the literature. The enthalpies of formation of the fluorite cubic structure, with ref. to the monoclinic zirconia and the periclase CaO and MgO, were measured calorimetrically. With optimized binary data for the systems ZrO<sub>2</sub>-MgO and ZrO<sub>2</sub>-CaO, which were reported elsewhere, and the data for MgO-CaO briefly discussed in this paper, the thermodn. and phase diagram data of the ternary system were assessed by means of computational optimization. Good agreement between the exptl. and computational results were obtained. The liquidus surface was also predicted and compared with the available exptl. results.

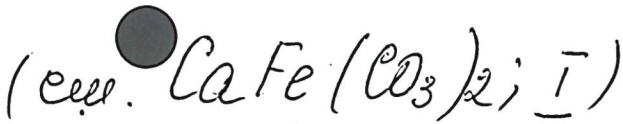
C.A. 1994, 120, N/2



1994

Davidson P. M.

Amer. Miner. 1994. E9,  
N3-4. C. 332 - 339.



1994

CaMg(CO<sub>3</sub>)<sub>2</sub>

D 3 Б3052. Декрепитация доломита и известняка. The decrepitation of dolomite and limestone /Dollimore D., Dunn J. G., Lee Y. F., Penrod B. M. //Thermochim. acta. —1994.—237, № 1.—С. 125—131.—Англ.

Степень разложения доломита CaMg(CO<sub>3</sub>)<sub>2</sub> (I) и известняка CaCO<sub>3</sub> (II) при нагревании исследована методом ТГ и тестом Пилкингтона. Установлено хорошее согласие между степенью разложения и размером частиц по обоим методам для I. Макс. разложение достигается при размере частиц 60—80 меш. Подобная корреляция менее очевидна для II, более чувствит. методом к размеру частиц является в этом случае метод термогравиметрии.

Л. Резницкий

X. 1995, N3

$\text{CaMgSiO}_6$

1994

Kojitari Hiroshi,  
Akaogi Masaki, et al.

$\Delta H_{\text{soln}}$ , Netse Sokstel' 1994,  
 $A_m H$ , L(3), 118-24.  
H-H

(cer.  $\text{MgSiO}_3$ ;  $T$ )

$\text{CaMgSiO}_4$

1994

Pilati T., Demartir F., et al.

16th Gen. Meet., Pisa, 4-9 Sept.

1994: Abst. / Int. Mineral.  
Assoc. [Pisa], 1994. C. 328.

$S_{298}^1$ ,  
pacrem

(cell.  $\text{Mg}_2\text{SiO}_4$ ;  $\overline{\text{X}}$ )

Салы - ахолюсилларат

1994.

Smelik E., Jenkins D.M.,  
Narrotzky A.,

(SHs)

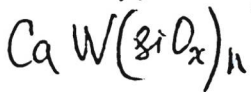
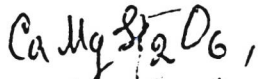
3298 Amer. Miner. - 1994, 79,  
N 11-12, C. 1110 - 1122

Карелийское ущелье реки -  
Минуса и горы Руга

Р-21-X. N 24, 1995, 245 339

трехмерн. - гермакум и термодр  
обратившие машинной обработки  
и гермакума





1994

121: 287556m Direct calorimetric measurement of enthalpies in diopside-anorthite-wollastonite melts at 1773 K. Tarina, Igor, Navrotksy, Alexandra; Gan, Hao (Dep. of Geological and Geophysical Sciences, Princeton Univ., Princeton, NJ 08544 USA). *Geochim. Cosmochim. Acta* 1994, 58(17), 3665-73 (Eng). Transposed-temp.-drop calorimetry performed in a Setaram HT 1500 calorimeter was used to study the melting of mixts. of cryst. diopside ( $\text{CaMgSi}_2\text{O}_6$ ), anorthite ( $\text{CaAl}_2\text{Si}_2\text{O}_8$ ), and pseudowollastonite ( $\text{Wo}$ ,  $\text{CaSiO}_3$ ) at 1773 K. Thermochem. cycles used completely avoid the glassy state by transforming crystals directly to melts. The results, zero or slightly neg. enthalpies of mixing in Di-An-Wo m. 1773 K, indicate that very small heat effects accompany any changes in melt structure upon mixing. A thermal mixing is prevalent in the diopside-rich region and along the Di-An join, whereas mixing is slightly exothermic in the rest of the Di-An-Wo system, esp. in the Wo-rich region. The data are consistent with an enthalpy of fusion of pseudowollastonite of  $57 \pm 5$  k/Jmol at the m.p. of 1827 K.

+2

$T_m, \Delta H_m$

C.A. 1994, 121, N24

1996

F: Ca<sub>2</sub>MgSi<sub>2</sub>O<sub>7</sub>

P: 1

2Б331. Дифференциальные и интегральные энталпии растворения акерманита и псевдоволластонита в расплавах системы Ca[2]MgSi[2]O[7]-CaSiO[3]. Изоплетные энталпии в этой системе. Differential and integral enthalpies of solution of akermanite and pseudo-wollastonite in the melts of the system Ca[2]MgSi[2]O[7]-CaSiO[3]. Isoplethal enthalpies in this system / Nerad I., Adamkovicova K., Kosa L., Strecko J., Proks I. // Thermochim. acta. - 1996. - 276, apr. - С. 49-55. - Англ.

Найдено, что энталпии смешения при образовании расплавов в системе Ca[2]MgSi[2]O[7]-CaSiO[3] из расплавов Ca[2]MgSi[2]O[7] и CaSiO[3] равны нулю в интервале т-р 1673-1930 К. Следовательно, диф. и

интегральные теплоты плавления акерманита и псевдоволластонита в расплавах этой системы равны их теплотам плавления при соответствующих т-рах. С использованием неизотермич. закона Гесса и фазовой диаграммы в этой системе рассчитаны изоплетные энталпии при т-рах 298-1920 К. Энталпия и энтропия кристаллизации для эвтектич. расплава при эвтектич. т-ре  $T_e = 1673$  К определены равными  $-78,3 \pm 2,4 \text{ Дж} \cdot \text{моль}^{-1}$  и  $-46,8 \text{ Дж} \cdot \text{моль} \cdot \text{К}^{-1}$  соответственно.



1996

Swamy Varghese.

Acta univ. upsal.

Compr. Summ. Uppsala

Diss. Fac. Sci. and Tech-  
nol. 1996, N211. C. I-II.

(ccr.  $\text{CaSiO}_3$ ; I)

Mg<sub>2</sub>Pa

1996

Zhe, Meng J. et al.,

Phys. Rev. B: Condens.  
Matter 1996, 54 (21),  
14865-868.

(Asf)

(all-Dix Cai I)

CaO-MgO

1997

127: 127250c First-principles computation of the CaO-MgO phase diagram. Ceder, G.; Tepesch, P. D.; Kohan, A. F.; Garbulsky, G. D.; Coley, C.; Stokes, H. T.; Boyer, L. L.; Mehl, M. J.; Burton, B. P. (Department of Materials Science and Engineering, Massachusetts Institute of Technology, Cambridge, MA 02139 USA). *Ceram. Trans.* 1997, 69(Computational Modeling of Materials and Processing), 115-121 (Eng), American Ceramic Society. Using a first-principles model, with no adjustable parameters, the authors were able to compute the CaO-MgO phase diagram in excellent agreement with exptl. data. This result is encouraging and indicates that accurate first-principles predictions for ionic systems are possible. Quant. agreement with exptl. data can not be achieved with previously published values of empirical pair potential parameters. The technique of cluster expanding the configurational energy dependence is found to work well. The cluster expansion technique is not limited to systems with binary disorder, such as the cation disorder in the CaO-MgO system. The authors recently showed how a similar expansion can be used to study defect arrangements in aliovalent oxides with disorder on both the cation and anion sublattice, as well as in materials with multi-component disorder on a given sublattice.

Paj. Gilasp

c.a. 1997, 127, 149

$\text{CaO} \cdot \text{MgO} \cdot 2\text{SiO}_2$   
(massenkryst. Krystall)

1997

128: 67071d Vaporization and thermodynamic properties of diopside. Shornikov, S. I.; Stolyarova, V. L.; Shul'ts, M. M. (Inst. Khim. Silik. im. I. V. Grebenshchikova, RAN, St. Petersburg, Russia). *Zh. Fiz. Khim.* 1997, 71(2), 230–234 (Russ), MAIK Nauka. The compn. and partial pressures of the vapor components above  $\text{CaO} \cdot \text{MgO} \cdot 2\text{SiO}_2$  samples were detd. by the mass-spectrometry Knudsen effusion method. The partial enthalpies and entropies of the components in the melt were also evaluated.

P, S, H

C.A. 1998, 128, N6

*CaO·MgO·2SiO<sub>2</sub>*

1997

21Б380. Процессы испарения и термодинамические свойства диопсида / Шорников С. И., Столярова В. Л., Шульц М. М. // Ж. физ. химии.— 1997.— 71, № 2.— С. 230–234.— Рус.

Масс-спектрометрическим эффиusionным методом Кнудсена определены состав и парциальные давления молекулярных форм пара над CaO·MgO·2SiO<sub>2</sub>, а также оценены парциальные энталпии и энтропии компонентов в расплаве. Показано соответствие найденных значений термодинамических функций диопсида с литературными данными.

*Kр, термод  
св-ки*

X. 1997, N 21

2000

F: Ca<sub>2-x</sub>Mg<sub>x</sub>Sn

P: 1

133:138649      Concerning the Ca<sub>2-x</sub>Mg<sub>x</sub>Tt Systems,  
Tt = Sn, Pb.    Ganguli, Ashok K.; Guloy, Arnold M.;  
Corbett, John D.      Ames Laboratory-DOE and  
Department of Chemistry, Iowa State University

Ames, IA 50011, USA      J. Solid State Chem.,  
152(2), 474-477 (English) 2000.      The Ca<sub>2</sub>Tt-  
Mg<sub>2</sub>Tt systems for tetrel Tt = Sn, Pb each contain a  
single Ca<sub>2-x</sub>Mg<sub>x</sub>Tt phase with the Co<sub>2</sub>Si structure  
(Pnma) over 0 .ltoreq. x .ltoreq. 1 beyond which  
Mg<sub>2</sub>Tt (inverse CaF<sub>2</sub>-type, x=2) appear. At x = 1,  
Mg occupies the unique position in the tricapped  
trigonal prisms of cations about tin that is not

involved in the formation of chains of edge-shared prisms, but rather it participates in interchain bonding via face-capping functions on adjoining trigonal prisms. This substitution produces notably less distortion in the units than in Ca<sub>2</sub>Tt. Resistivity data for the tin system show changes from a semiconductor for Ca<sub>2</sub>Sn to a poor metal at CaMgSn, at 180  $\mu\text{OMEGA}.\text{-cm}$  and 240 K. Only small and approx. temp.-independent magnetic susceptibilities are found over the same range, values that are only fractions of the std. diamagnetic core corrections. The systems behave as typical Zintl phases contg. Ca<sup>2+</sup>, Mg<sup>2+</sup>, and Tt<sub>4</sub>-oxidn. States.

CaO/MgO

2001

Allan N.L. et al.,

Ogurcová  
Máříková  
Češ - Š  
Int. J. Thermophys. 2001,  
22 (2), 535 - 546.

(all.)



MnO/MgO; T

Ca<sub>2</sub>MgSi<sub>2</sub>O<sub>7</sub>  
(октазиридин)<sup>2022</sup>  
дугенкова А.Н., лыков О.А.,  
неструев распоряжение  
Ca - Mg - Al силикатов

Лаг  
H(973к)-H(298) Терек горы. на XII км авт.  
дор. по хим. перевоз. с. - Терек -  
8 км, 1-5 км горы 2002г, снр 170-17  
(терек 8 402к, УТЗС)